



# MISE À JOUR DE L'ÉTAT DU STOCK DE PÉTONCLE GÉANT (*PLACOPECTEN MAGELLANICUS*) DANS LA ZPP 26A (NORD DU BANC DE BROWNS) EN 2025

## CONTEXTE

La Direction de la gestion des pêches de Pêches et Océans Canada (MPO) a demandé une évaluation du stock de [pétoncle géant \(\*Placopecten magellanicus\*\)](#) de la zone de pêche du pétoncle (ZPP) 26A (nord du banc de Browns) par rapport à des points de référence conformes à l'approche de précaution du MPO, et la prestation d'un avis sur les prises fondé sur divers niveaux de prises possibles pour la pêche de 2026.

La présente Réponse des sciences du MPO découle de l'examen par les pairs régional du 12 février 2026 sur la mise à jour de l'état du stock de pétoncles (*Placopecten magellanicus*) au large des côtes : ZPP 26A (nord du banc de Browns) et 27A (zone « a » du banc de Georges).

## AVIS SCIENTIFIQUE

### État du stock

- L'estimation de la biomasse médiane en 2025 était de 3 863 t (de chair) pour les pétoncles pleinement recrutés. La probabilité que le stock soit au-dessus du point de référence limite (PRL; 2 000 t) était supérieure à 0,99.

### Tendances du stock

- La biomasse des individus pleinement recrutés a diminué depuis 2023, mais demeure au-dessus du creux historique de 2017.
- La médiane de l'estimation de la biomasse de recrues était de 321 t en 2025, ce qui est inférieur à la médiane à long terme (1994 à 2024), qui s'élève à 354 t. La biomasse de recrues est stable et se maintient près de la médiane à long terme depuis 2017.
- Le taux d'exploitation proportionnel estimé était d'environ 0,05 et il était inférieur à la médiane à long terme de 2020 à 2023, mais il a dépassé la médiane à long terme pour atteindre 0,09 en 2024, et il était plus élevé qu'au cours des années précédentes (2017 à 2023).
- L'estimation de la mortalité naturelle proportionnelle a varié sans tendance entre 0,1 et 0,5 tout au long de la série chronologique (1994 à 2025). La mortalité naturelle proportionnelle estimée est passée de 0,16 en 2024 à 0,33 en 2025.

### Considérations liées à l'écosystème et aux changements climatiques

- La hausse des températures de l'eau au fond, l'acidification des océans et les regroupements de prédateurs dans les zones à forte densité de pétoncles ont une incidence sur la physiologie, la croissance et la mortalité naturelle du pétoncle.

## **Avis sur le stock**

- L'analyse préliminaire des données de 2025 issues de la pêche et du relevé du MPO sur le pétoncle au large des côtes des Maritimes a mené à l'établissement d'un total autorisé des captures (TAC) provisoire de 275 t (chair) en décembre 2025 pour la pêche dans la ZPP 26A en 2026.
- Selon les estimations, le TAC provisoire de 275 t entraîne un taux d'exploitation de 0,08 et une diminution prévue de 20 % pour la biomasse.
- Bien que les scénarios de prises allant de 0 à 375 t pour 2026 devraient entraîner une diminution de la biomasse des pétoncles pleinement recrutés pour le stock, il y a une probabilité inférieure à 0,01 que cette biomasse chute sous le PRL.

## **BASE DE L'ÉVALUATION**

### **Détails de l'évaluation**

#### **Année d'approbation de l'approche d'évaluation**

2024 (Keith *et al.* 2025b)

#### **Type d'évaluation**

Mise à jour de l'année intermédiaire

#### **Date de l'évaluation la plus récente**

1. Dernière évaluation complète : 2025 (MPO 2025c)
2. Dernière mise à jour de l'année intermédiaire : 2024 (MPO 2024)

#### **Approche d'évaluation du stock**

1. Catégorie générale : modèle d'évaluation d'un stock unique
2. Catégorie spécifique : modèle à différences retardées, dynamique de la biomasse, modèle d'espace d'états

L'avis scientifique pour ce stock est fondé sur un nouveau modèle d'évaluation spatialement explicite (MESE) qui intègre les données issues de la pêche et du relevé du MPO sur le pétoncle au large des côtes des Maritimes (ci-après appelé « le relevé »; McDonald *et al.* 2021, Keith *et al.* 2025b).

### **Hypothèse relative à la structure du stock**

En 1998, les pêches hauturières du pétoncle géant menées sur le banc de Browns dans la ZPP 26 ont été séparées en deux zones, soit la ZPP 26A (nord du banc de Browns) et la ZPP 26B (sud du banc de Browns) en fonction de la productivité et des habitudes de pêche antérieures (figures A1 et A2). La ZPP 26A s'est révélée la plus productive, tandis que la ZPP 26B est moins productive et est visée par des mesures de gestion distinctes. Des densités de biomasse plus élevées sont généralement observées dans les parties nord et sud-est de la zone faisant l'objet d'un relevé dans la ZPP 26A (figures 3 et 4).

### **Points de référence**

- Point de référence limite (PRL) : 2 000 t

**Région des Maritimes**

---

- Point de référence supérieur du stock (PRS) : à déterminer
- Point de référence de retrait (PRR) : à déterminer
- Point de référence cible (PRC) : à déterminer

Des points de référence potentiels pour la ZPP 26A ont été élaborés et envisagés en fonction de simulations du rendement maximal durable (RMD; MPO 2025b, Keith *et al.* 2025a). Le PRL de 2 000 t a été adopté en 2025 et correspond à  $0,4B_{RMD}$  (biomasse au rendement maximal durable).

**Données**

- Données du relevé sur le pétoncle au large des côtes des Maritimes du MPO (1994 à 2025)
- Données de la pêche commerciale (1994 à 2025)

Les taux d'exploitation proportionnels représentent l'exploitation au cours d'une année de relevé (juin à mai) et sont déclarés pour l'année civile précédente (p. ex. la valeur de 2024 représente l'exploitation de juin 2024 à mai 2025).

En 2020, le relevé a été annulé en raison des complications associées à la pandémie de COVID-19. Le taux de croissance médian a été utilisé dans le modèle pour les années 2020 et 2021, tandis que le reste des données d'entrée pour 2020 ont été estimées par le modèle (Keith *et al.* 2025b).

## ÉVALUATION

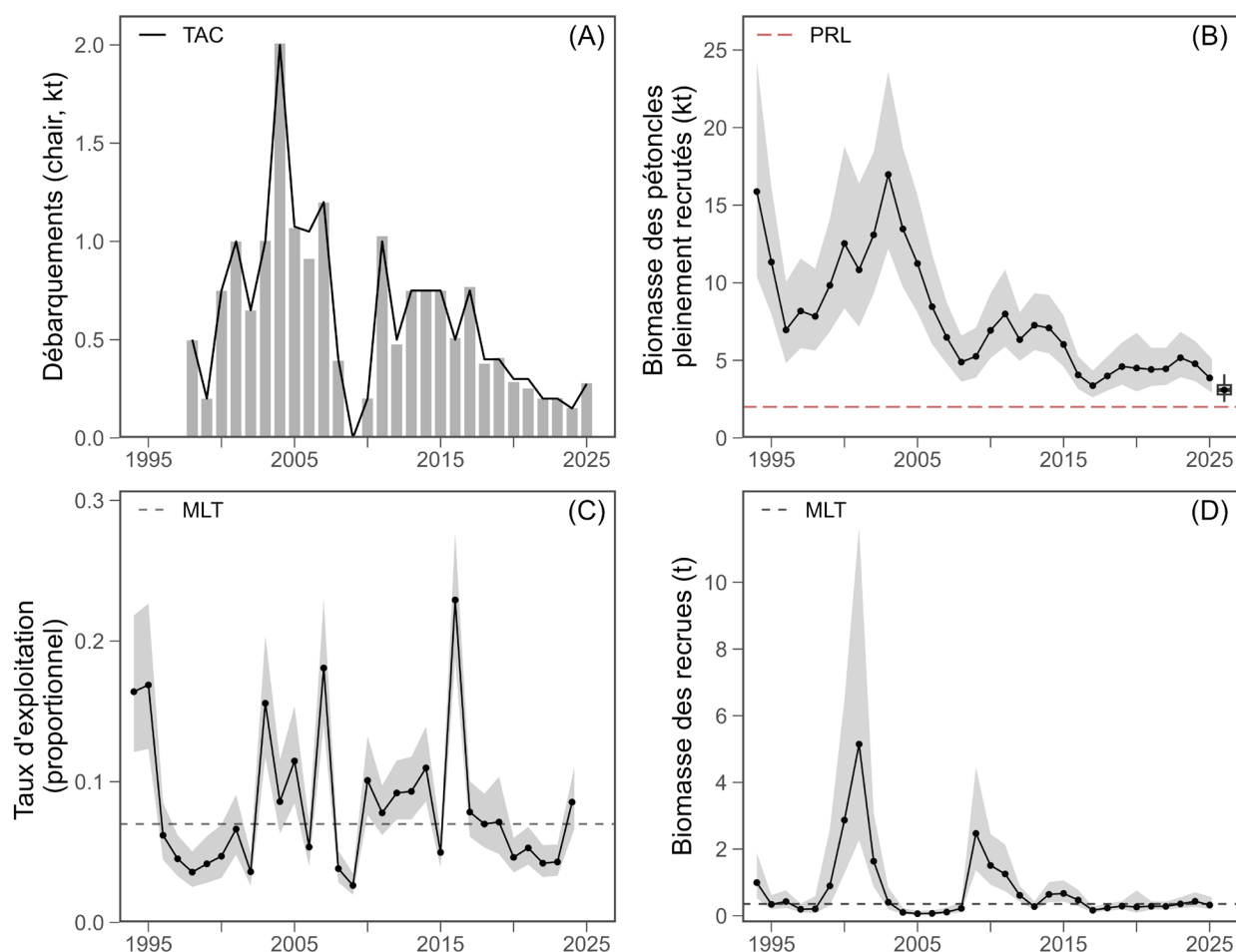


Figure 1. (A) Débarquements annuels de chair de pétoncle (kilotonnes, kt) provenant de la zone de pêche du pétoncle (ZPP) 26A entre 1998 et 2025. La ligne noire continue représente le total autorisé des captures (TAC). Il convient de noter qu'avant 1998, les débarquements de la ZPP 26A étaient combinés à ceux de la ZPP 26B. (B) Estimations moyennes de la biomasse prédite par le modèle (kt) pour les pétoncles pleinement recrutés (ligne noire continue) par rapport au point de référence limite (PRL) de 2 000 t (ligne rouge tiretée). La zone grisée représente les limites supérieure et inférieure des intervalles de confiance à 95 %. La biomasse des pétoncles pleinement recrutés prévue pour 2026, en supposant une prise de 275 t, est représentée par un diagramme de quartiles dans lequel le point noir (●) représente la médiane, le rectangle vide, l'intervalle de confiance à 50 % et les moustaches noires, l'intervalle de confiance à 95 %. (C) Estimation du taux d'exploitation proportionnel (ligne noire continue) par rapport à la médiane à long terme (1994 à 2023, MLT; ligne grise tiretée). La zone grisée représente les limites supérieure et inférieure des intervalles de confiance à 95 %. Les taux d'exploitation proportionnels représentent l'exploitation au cours d'une année de relevé (juin à mai) et sont déclarés pour l'année civile précédente (p. ex. la valeur de 2024 représente l'exploitation de juin 2024 à mai 2025). (D) Estimations moyennes de la biomasse prédite par le modèle (kt) pour les recrues (ligne noire continue) par rapport à la médiane à long terme (1994 à 2024, MLT) de la biomasse des recrues (ligne grise tiretée). La zone grisée représente les limites supérieure et inférieure des intervalles de confiance à 95 %.

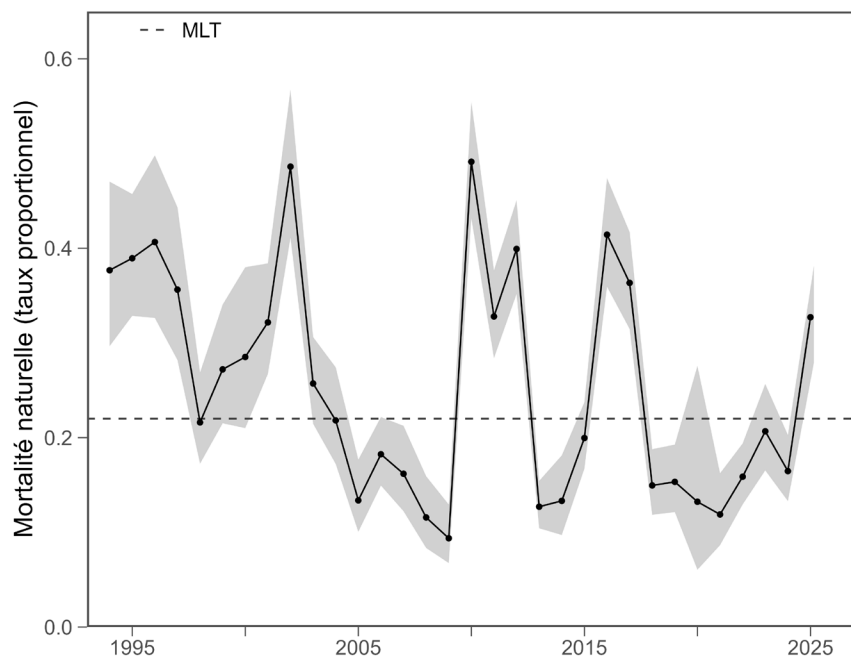


Figure 2. Estimation de la mortalit   naturelle proportionnelle (ligne noire continue) par rapport    la m  diane    long terme (1994    2024, MLT) des taux de mortalit   naturelle (ligne grise tiret  e). La zone gris  e repr  sente les limites sup  rieure et inf  rieure des intervalles de confiance    95 %.

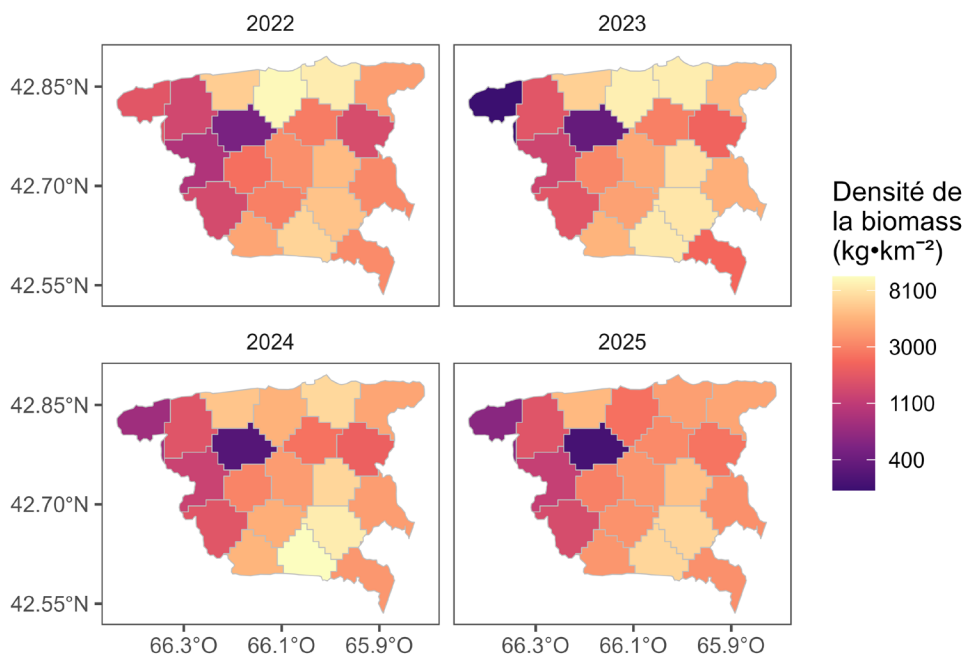


Figure 3. Densit  s de la biomasse des p  toncles pleinement recrut  s estim  es par le mod  le ( $kg \cdot km^{-2}$ ) dans le domaine du mod  le de la zone de p  che du p  toncle 26A de 2022    2025.

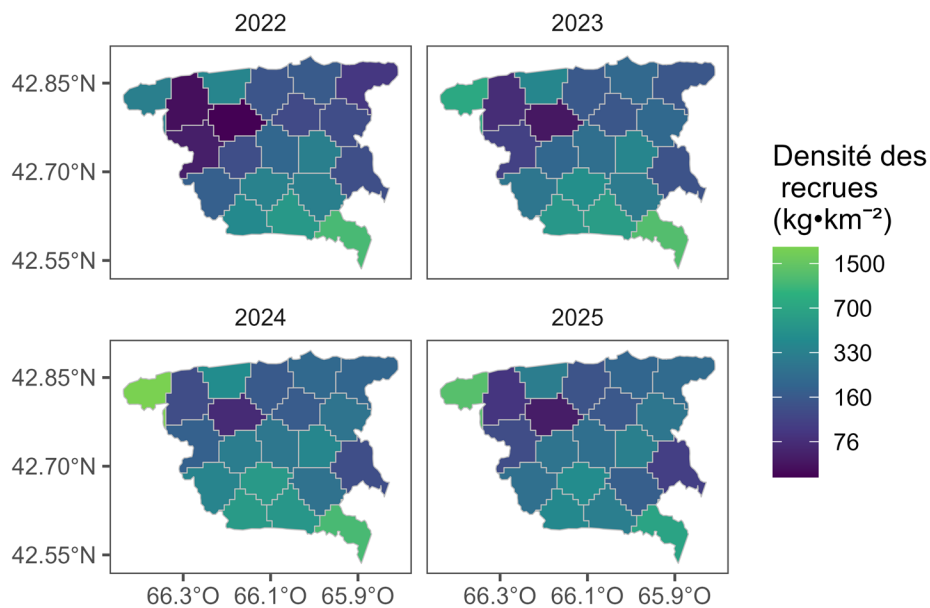


Figure 4. Densités de la biomasse des recrues estimées par le modèle (kg·km<sup>-2</sup>) dans le domaine du modèle de la zone de pêche du pétoncle 26A de 2022 à 2025.

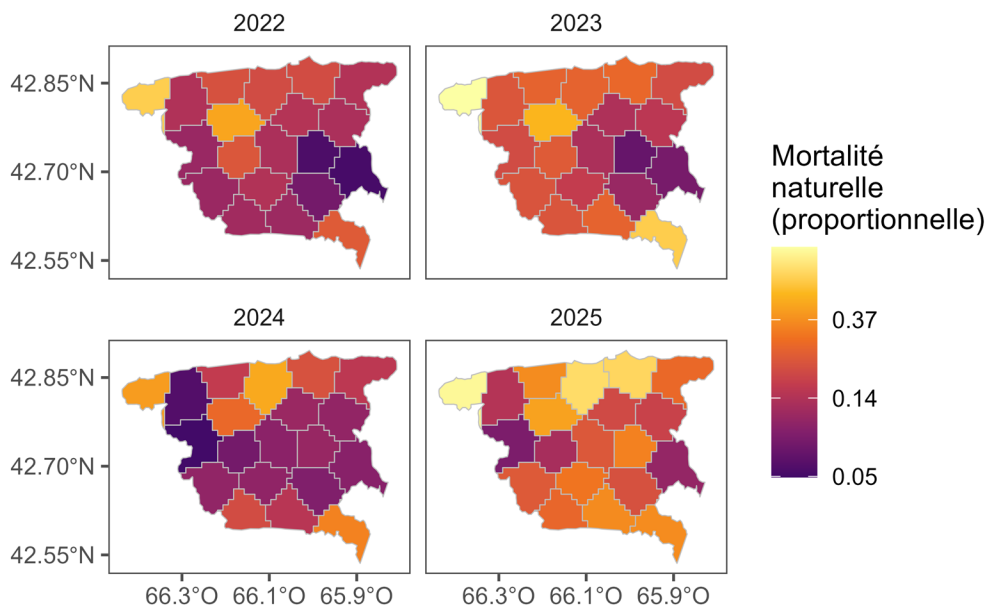


Figure 5. Mortalité naturelle proportionnelle estimée par le modèle dans le domaine du modèle de la zone de pêche du pétoncle 26A de 2022 à 2025.

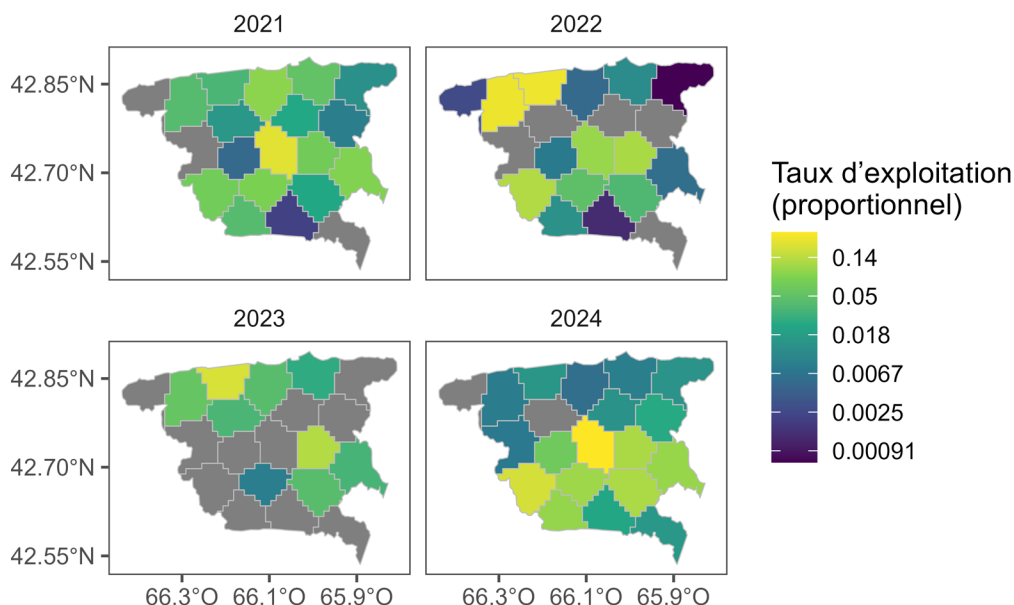


Figure 6. Taux d'exploitation proportionnels estimés par modèle dans le domaine du modèle de la zone de pêche du pétoncle 26A de 2021 à 2024. Les taux proportionnels représentent l'exploitation au cours d'une année de relevé (juin à mai) et sont déclarés pour l'année civile précédente (p. ex. la valeur de 2024 représente l'exploitation de juin 2024 à mai 2025). Les polygones gris indiquent un taux d'exploitation de zéro.

## État du stock et tendances

### Biomasse des pétoncles pleinement recrutés

La biomasse médiane modélisée des individus pleinement recrutés a diminué depuis 2023, mais demeure au-dessus du creux historique de 2017 (figure 1B). Bien que la biomasse soit demeurée au-dessus du PRL tout au long de la série chronologique, les niveaux actuels sont relativement faibles par rapport aux valeurs élevées observées entre 2000 et 2005, et au sommet record de 2003. La répartition spatiale de la biomasse est relativement stable depuis 2022, avec des densités plus élevées sur les limites nord et sud-est du domaine du modèle, et des densités plus faibles vers l'ouest (figure 3).

### Biomasse des recrues

Depuis 2017, la biomasse médiane modélisée des recrues est demeurée relativement proche de la médiane à long terme de 354 t. Le grand événement de recrutement le plus récent s'est produit entre 2009 et 2011 (figure 1D). La répartition spatiale de la biomasse des recrues est relativement stable depuis 2022, le recrutement étant plus élevé dans les endroits où la biomasse des individus pleinement recrutés est plus élevée, comme à la limite sud-est du domaine du modèle (figure 4).

### Mortalité naturelle

La mortalité naturelle proportionnelle estimée a fluctué au cours de la série chronologique, et présente des valeurs élevées environ tous les 5 à 7 ans. Elle a fortement augmenté entre 2024 et 2025, passant de 0,16 à 0,33. L'estimation de 2025 est comparable aux niveaux observés en

2017, et se situe au-dessus de la médiane à long terme de 0,22 (figure 2). Depuis 2022, la mortalité naturelle est généralement plus élevée dans la partie nord-ouest du domaine du modèle (figure 5).

### **Mortalité par pêche**

Les taux d'exploitation proportionnels estimés ont fluctué sans tendance claire dans la majeure partie de la série chronologique. Les taux d'exploitation ont diminué par rapport au sommet historique de 2016 et étaient comparativement faibles jusqu'à ce qu'ils augmentent à 0,09 l'année la plus récente (figure 1C). La répartition spatiale de l'exploitation a varié depuis 2022 (figure 6). En 2024, les taux d'exploitation proportionnels étaient les plus élevés au centre et dans le sud du banc.

### **État actuel**

L'estimation de la biomasse médiane en 2025, soit 3 863 t, est supérieure au PRL avec une probabilité supérieure à 0,99.

### **Historique des débarquements et du total autorisé des captures (TAC)**

Les débarquements de pétoncles provenant du banc de Browns (ZPP 26) sont surveillés depuis 1990. La structure de surveillance actuelle a été mise en place en 1998 (figure 1A), lorsque le banc de Browns a été divisé en ZPP 26A (nord du banc de Browns) et ZPP 26B (sud du banc de Browns) aux fins d'allocation des quotas (MPO 2025a). Le tableau 1 montre les débarquements totaux annuels et les TAC connexes (avant la conciliation des quotas) pour la ZPP 26A depuis la séparation du banc de Browns en deux zones.

*Tableau 1. Total autorisé des captures (TAC) avant la conciliation des quotas, débarquements de pétoncles (chair, poids en tonnes) et effort de pêche (en heure-mètres) selon l'année civile pour la zone de pêche du pétoncle 26A, de 1998 à 2025. En 2009, le TAC a été fixé à 0; aucune pêche n'a donc eu lieu de janvier à décembre cette année-là. Les valeurs des débarquements indiquées sont celles utilisées dans le modèle et sont fondées sur les données des journaux de bord dont les Sciences du MPO disposaient.*

<b>Année</b>	<b>TAC</b>	<b>Débarquements</b>	<b>Effort</b>
1998	500	498	32 598
1999	200	200	11 435
2000	750	748	27 400
2001	1 000	999	22 248
2002	650	649	11 026
2003	1 000	1 003	17 948
2004	2 000	2 007	58 115
2005	1 075	1 068	34 017
2006	1 050	912	41 094
2007	1 200	1 198	44 279
2008	400	393	35 246
2010	200	201	8 706
2011	1 000	1 027	38 532
2012	500	476	19 291
2013	750	748	19 163

**Évaluation du stock de pétoncle  
géant dans la ZPP 26A (nord du banc  
de Browns) en 2025**

**Région des Maritimes**

<b>Année</b>	<b>TAC</b>	<b>Débarquements</b>	<b>Effort</b>
2014	750	747	21 730
2015	750	749	36 107
2016	500	508	27 409
2017	750	768	28 388
2018	400	377	16 657
2019	400	407	18 076
2020	300	285	19 656
2021	300	251	18 608
2022	200	200	8 879
2023	200	202	6 393
2024	150	152	5 041
2025	275	278	16 211

### **Considérations liées à l'écosystème et aux changements climatiques**

Les pétoncles géants sont des mollusques essentiellement sédentaires et ils sont sensibles aux facteurs de stress liés aux changements climatiques, comme la hausse des températures au fond et l'acidification des océans, qui ont une incidence sur la physiologie et la croissance du pétoncle (Rheuban *et al.* 2018). Cependant, les recherches directes sur les effets des changements climatiques dans la ZPP 26A ou sur d'autres stocks du plateau néo-écossais sont limitées. Par conséquent, les effets possibles ont été déduits à partir des résultats obtenus dans d'autres régions. Les changements dans la répartition des prédateurs et l'augmentation de leur abondance dans les eaux nordiques peuvent également entraîner de nouveaux risques. Les regroupements de prédateurs dans les zones à forte densité de pétoncles peuvent contribuer à faire augmenter la mortalité naturelle, en particulier chez les prérecrues (hauteur de coquille inférieure à 85 mm; Elnor and Jamieson 1979, Barbeau and Scheibling 1994, Wong and Barbeau 2005). Les densités élevées de prédateurs et de pétoncles morts (claquettes) observées dans d'autres régions renforcent le besoin d'une surveillance continue de la répartition et de l'abondance des prédateurs.

### **Projections**

La biomasse des pétoncles pleinement recrutés prévue pour 2026 est de 3 090 t. Cette prévision tient compte des prélèvements de la pêche (24 t) ayant lieu après le relevé de 2025, et suppose :

- une prise de 275 t (le TAC provisoire);
- que la croissance sera la même qu'en 2025 (1,1);
- que la mortalité naturelle proportionnelle sera la même qu'en 2025 (0,33).

Des scénarios de prises allant de 0 à 375 t sont présentés dans le tableau 2. Les projections de 2026 indiquent que la biomasse devrait diminuer dans tous les scénarios de prises. La probabilité que la biomasse diminue (c.-à-d. que la biomasse prévue soit inférieure à la biomasse actuelle) varie de 0,87 pour des prises nulles à 0,94 pour des prises de 275 t et 0,95 pour des prises de 375 t. Le changement prévu de la biomasse va de -14 % s'il n'y a aucune prise à -22 % si les prises atteignent 375 t. Tous les scénarios de prises présentés indiquent une probabilité de moins de 0,01 que la biomasse soit inférieure au PRL. Des prises de 275 t (le

TAC provisoire de 2026) devraient entraîner un taux d'exploitation proportionnel de 0,08 et une diminution de 20 % de la biomasse des pétoncles pleinement recrutés entre 2025 et 2026. Les taux d'exploitation présentés pour les différents scénarios de prises sont calculés pour l'année civile 2026 à partir des prélèvements projetés pour cette même année (ils ne comprennent pas les prises enregistrées après le relevé de 2025).

*Tableau 2. Tableau de décision concernant le point de référence limite (PRL) pour les projections sur un an selon des scénarios de prises variant entre 0 t et 375 t pour la zone de pêche du pétoncle 26A. Les prises potentielles pour 2026 sont évaluées en fonction du taux d'exploitation prévu (proportionnel) et du changement de la biomasse pleinement recrutée, de la probabilité d'une diminution de la biomasse et de la probabilité que la biomasse soit inférieure au PRL. Ces probabilités tiennent compte de l'incertitude associée aux prévisions de biomasse.*

<b>Prises (t)</b>	<b>Taux d'exploitation</b>	<b>Probabilité d'une diminution de la biomasse</b>	<b>Changement prévu de la biomasse (%)</b>	<b>Probabilité que la biomasse soit inférieure au PRL</b>
0	0,00	0,87	-14	< 0,01
25	0,01	0,88	-15	< 0,01
75	0,02	0,90	-16	< 0,01
125	0,04	0,91	-17	< 0,01
175	0,05	0,92	-18	< 0,01
225	0,07	0,93	-19	< 0,01
275	0,08	0,94	-20	< 0,01
325	0,10	0,95	-21	< 0,01
375	0,11	0,95	-22	< 0,01

## **SOURCES D'INCERTITUDE**

Les termes liés à la mortalité naturelle modélisée sont fondés sur l'indice des claquettes découlant de relevés, mais il existe d'autres sources de mortalité qui pourraient ne pas être représentées par cet indice. Ces sources de mortalité comprennent la prédation qui ne génère pas de claquettes, et la mortalité associée aux prises accessoires et aux rejets de la pêche (Hubley *et al.* 2014).

Le fondement de l'avis scientifique à l'intention de la Gestion des pêches du MPO pour 2026 suppose que l'estimation de la mortalité naturelle et la croissance médiane seront celles de l'année en cours (2025). Si la croissance ou la mortalité naturelle diffère de ces estimations en 2026, les projections de la biomasse (et les probabilités des tableaux de décision qui en découlent) seront touchées.

## LISTE DES PARTICIPANTS DE LA RÉUNION

Nom	Organisme d'appartenance
Freya Keyser (responsable)	Sciences du MPO, région des Maritimes
David Keith	Sciences du MPO, région des Maritimes
Tricia Pearo Drew	Sciences du MPO, région des Maritimes
Sophia Harder	Sciences du MPO, région des Maritimes
Nathan Hebert	Sciences du MPO, région des Maritimes
Andrew Harbicht	Sciences du MPO, région du Golfe
Alan Reeves	Gestion des ressources du MPO, région des Maritimes
Tara McIntyre	Sciences du MPO, région des Maritimes

## SOURCES DE RENSEIGNEMENTS

- Barbeau, M.A., and Scheibling, R.E. 1994. [Behavioral mechanisms of prey size selection by sea stars \(\*Asterias vulgaris\* Verrill\) and crabs \(\*Cancer irroratus\* Say\) preying on juvenile sea scallops \(\*Placopecten magellanicus\* \[Gmelin\]\)](#). Journal of Experimental Marine Biology and Ecology. 180(1): 103–136.
- Elner, R.W., and Jamieson, G.S. 1979. [Predation of sea scallops, \*Placopecten magellanicus\*, by the rock crab, \*Cancer irroratus\*, and the american lobster, \*Homarus americanus\*](#). Journal of the Fisheries Board of Canada. 36(5): 537–543.
- Hubley, P.B., Hubley, P.B., Reeves, A., Smith, S.J. and Nasmith, L. 2014. [Georges Bank 'a' and Browns Bank North scallop \(\*Placopecten magellanicus\*\) stock assessment](#). DFO Can. Sci. Advis. Sec. Res. Doc. 2013/079: vi + 58 p.
- Keith, D., Keyser, F., McDonald, R., Pearo Drew, T., et Sameoto, J.A. 2025. [Cadre d'évaluation des stocks pour les zones de pêche du pétoncle 25, 26 et 27B : points de référence](#). Secr. can. des avis sci. du MPO. Doc. de rech. 2025/083. iv + 62 p.
- Keith, D.M., Keyser, F., McDonald, R., Pearo Drew, T., et Sameoto, J.A. 2025b. [Cadre d'évaluation des stocks pour les zones de pêche du pétoncle \(ZPP\) 25, 26 et 27B : Modèles d'évaluation des stocks pour les ZPP 25A et 26A](#). Secr. can. des avis sci. du MPO. Doc. de rech. 2025/066. v + 126 p.
- McDonald, R.R., Keith, D.M. Sameoto, J.A., Hutchings, J.A., and Flemming, J.M. 2021. [Explicit incorporation of spatial variability in a biomass dynamics assessment model](#). ICES Journal of Marine Sciences. (fsab192) 78(9): 3265-3280.
- MPO. 2024. [Mise à jour sur l'état du stock de pétoncle géant \(\*Placopecten magellanicus\*\) du nord du banc de Browns pour la saison de pêche 2024](#). Secr. can. des avis sci. du MPO. Rép. des sci. 2024/022.
- MPO. 2025a. [Plan de gestion intégrée des pêches : Pêches hauturières du pétoncle, région des Maritimes, Pêches et Océans Canada](#).
- MPO. 2025b. [Avis scientifique sur les points de référence pour les zones de pêche du pétoncle 25, 26 et 27B](#). Secr. can. des avis sci. du MPO. Avis sci. 2025/049.

- MPO. 2025c. [Évaluation du stock de pétoncle géant \(\*Placopecten magellanicus\*\) de la ZPP 26A \(nord du Browns Bank\) en 2024](#). Secr. can. des avis sci. du MPO. Avis sci. 2025/050.
- Rheuban, J.E., Doney, S.C., Cooley, S.R., and Hart, D.R. 2018. [Projected impacts of future climate change, ocean acidification, and management on the US Atlantic sea scallop \(\*Placopecten magellanicus\*\) fishery](#). PLOS ONE. 13(9): e0203536.
- Wong, M.C., and Barbeau, M.A. 2005. [Prey selection and the functional response of sea stars \(\*Asterias vulgaris\* Verrill\) and rock crabs \(\*Cancer irroratus\* Say\) preying on juvenile sea scallops \(\*Placopecten magellanicus\* \(Gmelin\)\) and blue mussels \(\*Mytilus edulis\* Linnaeus\)](#). Journal of Experimental Marine Biology and Ecology. 327(1): 1–21.

ANNEXE

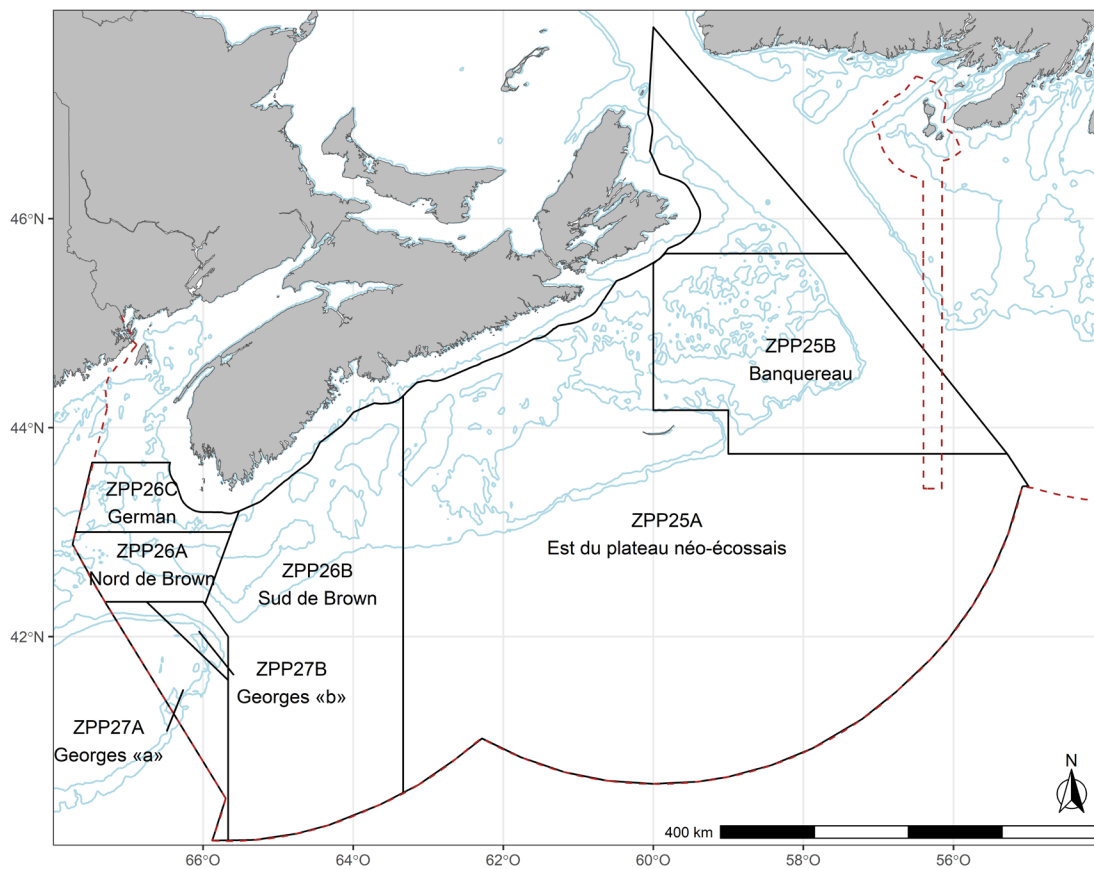


Figure A1. Zones de pêche du pétoncle (ZPP) 25 à 27 utilisées aux fins de gestion dans la région des Maritimes du MPO. La bathymétrie est représentée par des isobathes de 50 m (lignes bleues), les ZPP sont délimitées par des lignes noires et la limite de la zone économique exclusive (ZEE) est indiquée par une ligne tiretée rouge.

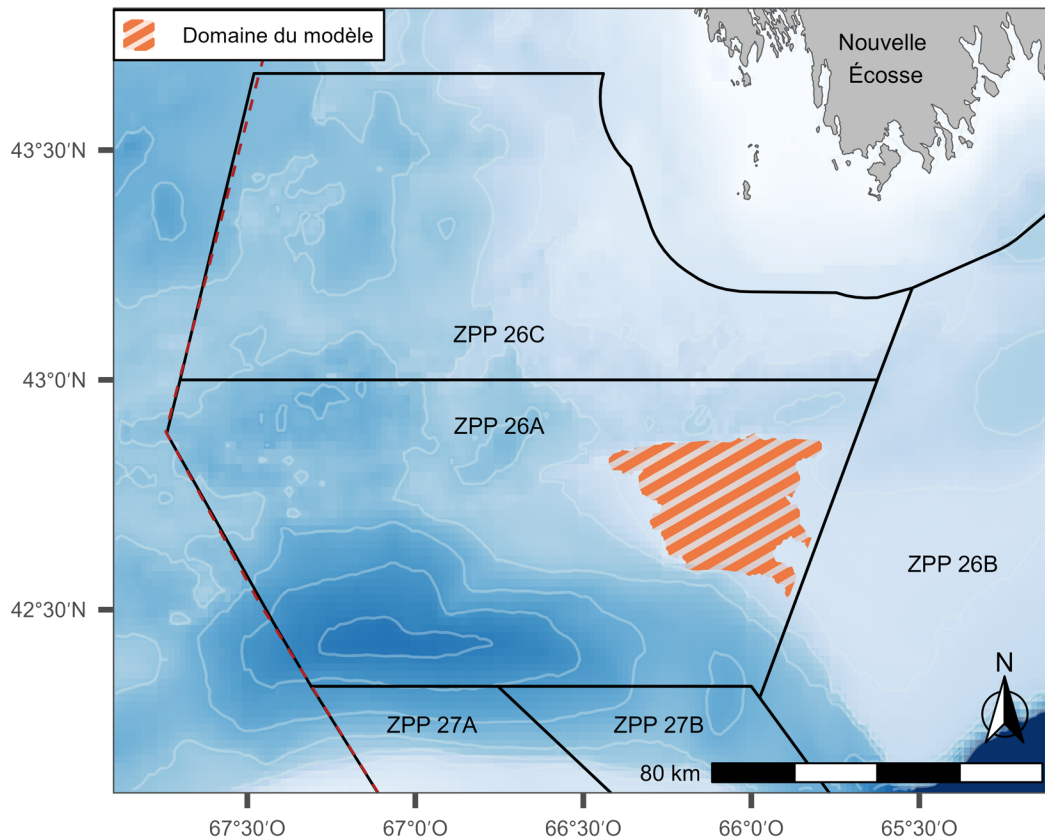


Figure A2. Emplacement de la zone de pêche du pétoncle (ZPP) 26A (nord du banc de Browns) et étendue spatiale du domaine du modèle (polygone rayé orange) utilisée pour la surveillance et la gestion dans la région des Maritimes. La bathymétrie est représentée par l'ombrage bleu avec des isobathes de 50 m (lignes blanches). Les ZPP sont délimitées par des lignes noires. Des parties des ZPP adjacentes sont également indiquées, notamment la ZPP 26B (sud du banc de Browns), la ZPP 26C (banc German) et les sections nord de la ZPP 27A (zone « a » du banc de Georges) et de la ZPP 27B (zone « b » du banc de Georges).

**CE RAPPORT EST DISPONIBLE AUPRÈS DU :**

Centre des avis scientifiques (CAS)  
Région des Maritimes  
Pêches et Océans Canada  
1, promenade Challenger, C.P. 1006  
Dartmouth (Nouvelle-Écosse) B2Y 4A2  
Canada

Courriel : [MaritimesRAP.XMAR@dfo-mpo.gc.ca](mailto:MaritimesRAP.XMAR@dfo-mpo.gc.ca)  
Adresse Internet : [www.dfo-mpo.gc.ca/csas-sccs/](http://www.dfo-mpo.gc.ca/csas-sccs/)

ISSN 1919-3815  
ISBN 978-0-660-99359-1 N° cat. Fs70-7/2026-017F-PDF

© Sa Majesté le Roi du chef du Canada, représenté par le ministre du  
ministère des Pêches et des Océans, 2026

Ce rapport est publié sous la [Licence du gouvernement ouvert – Canada](#).



La présente publication doit être citée comme suit :

MPO. 2026. Mise à jour de l'état du stock de pétoncle géant (*Placopecten magellanicus*) dans la ZPP 26A (nord du banc de Browns) en 2025. Secr. can. des avis sci. du MPO. Rép. des Sci. 2026/017.

*Also available in English:*

DFO. 2026. SFA 26A (Browns Bank North) Scallops (*Placopecten magellanicus*) Update in 2025. DFO Can. Sci. Advis. Sec. Sci. Resp. 2026/017.